

VI-116

## 履帶用耐摩耗ゴムの切断特性について

愛媛大学工学部 正員 河原 庄一郎

愛媛大学工学部 正員 室 達朗

今治市役所 梶川 真治

**1. まえがき** 履帯やORタイヤに使用されている耐摩耗ゴムは、碎石などが原因で偶発的にカットがよく発生する。ORタイヤの廃棄の内訳をみると、カットバーストは約35%と完靡の約45%に比べてもかなりの割合を占め、寿命も短い<sup>1)</sup>。しかし、カットの発生するメカニズムはほとんどわかつていない。

ここでは、耐摩耗ゴムの切断特性を明らかにすることを目的とし、碎石にみたてた切断刃の刃先角、ゴム厚のゴムの切断に及ぼす影響を、静的および動的のモデル実験により調査する。

**2. ゴム供試体および切断刃** ゴム供試体は、硬度H<sub>S</sub>62の天然ゴムを主体とした耐摩耗ゴム(引張強さ213kgf/cm<sup>2</sup>、伸び573%、引張強さ65.0kgf/cm)で、切断幅50×長さ100mm、厚さ5, 10, 15, 20, 30mmの5種類である。碎石にみたてた切断刃(SS41)は、刃先角θが30, 45, 60, 75, 80, 85, 90degの7種類である。刃の大きさは、刃幅100×長さ80×厚さ16mmである。

**3. 実験装置および方法** ゴムの切断実験は静的と動的について行った。静的切断装置は、アムスラーの下部昇降台が上昇することにより、切断刃に荷重を与え静的にゴム供試体を切斷する機構である。垂直荷重はアムスラーの下部クロスヘッドと切断刃の間に装着したロードセル(2tf用)により、切断刃の貫入量は超音波変位計により測定し、デジタルデータレコーダに記録した。この実験における貫入速度は、約0.2mm/sに設定した。

動的切断装置は、重錐の落下した衝撃力によりゴム供試体を切斷する機構である。高さは約4mで、とんびの紐を引張ると重錐(質量M=20.9kg、直径10cmの鋼製円柱)が落下する。4本の支柱からなる落下道は、ターンバックルにより鉛直性を微調整できる。

切断部の詳細を図1に示す。刃の回転防止し鉛直方向への貫入を保つため、切断刃の横に装着された左右各2本のステンレス製丸鋼(直径8mm)がサイドガイドの鉛直溝を滑っていくようになっている。また、切断刃に衝撃力を確実に伝えるため、切断刃プロテクター(厚さ10mm、直径100mm)を装着している。ゴム供試体は、両端を固定している。ゴム供試体の下部には、3層からなる木製防刃材(層厚10mm)を設置して、切斷時における刃先の保護をしている。直接、切斷時に刃と衝突する部分(幅20mm)においては、着脱式で1回毎に交換した。脚部は、重錐落下による衝撃のショックアブソーバーの役割を果たさないよう、落下箇所の下部には支柱をいれて補強した。なお、静的実験でも動的実験の切断部と同じものを使用した。

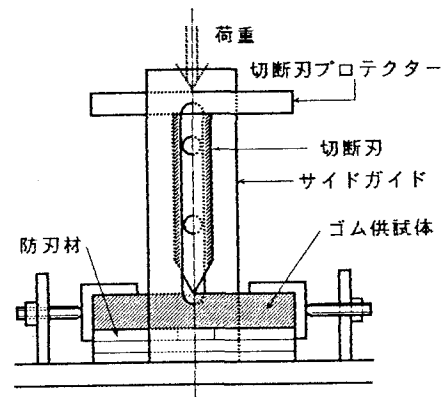
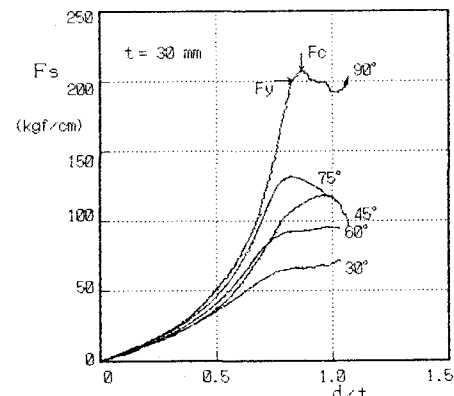
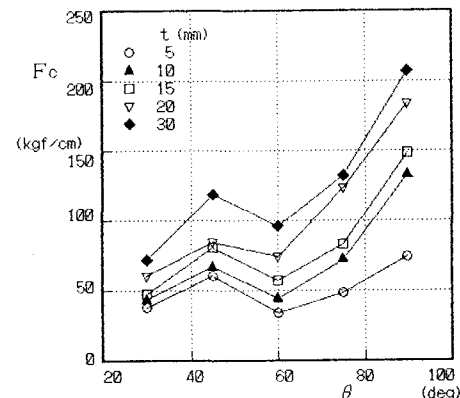


図1 実験装置の切断部

図2 垂直荷重F<sub>s</sub>と貫入量d/tの関係図3 最大荷重F<sub>c</sub>と刃先角θの関係

**4. 静的切断実験結果および考察** 図2に切断終了点までの単位幅当りの垂直荷重  $F_s$  と貫入量  $d$  をゴム厚  $t$  で除した  $d/t$  の関係をゴム厚30mmについて示す。刃先角60°の切断刃に対してゴム供試体（ゴム厚30mm）の側面に5mm方眼を描いて切断時の様子を観察したところ、ゴム供試体の切断刃直下において約20%まで圧縮されたのち、実際の切断が開始されることがわかった。この点は、曲線の曲率最大点 ( $d_y/t$ ,  $F_y$ ) で、切断開始点に相当する。また、図の曲線は2つのパターンに分けられる。パターン1では、切断開始点以後垂直荷重  $F_s$  が徐々に増加しながら切断される。パターン2では、切断開始点以後荷重にピークがみられる。刃先角30°, 60°では、全てパターン1であったが、それ以外の刃先角ではゴム厚が厚くなるにつれてパターン2を示す。

図3に最大荷重  $F_c$  と刃先角  $\theta$  の関係を示す。ゴム厚もが厚くなるにつれて、刃先角60°から90°にかけて最大荷重  $F_c$  が急激に増加する。刃先角45°で60°よりも  $F_c$  が大きい場合もあるが、これにはゴムと切断刃との間の摩擦の影響が考えられる。

図4に切断開始時貫入量  $d_y$  とゴム厚  $t$  の関係を示す。  $d_y$  (mm) と  $t$  (mm) の間には、次式の比例関係が成立する。

$d_y = 0.803 \cdot t$  (相関係数  $r=0.976$ , データ数  $n=25$ ) (1)  
ゴム厚  $t$ , 刃先角  $\theta$  にかかわらず、貫入量  $d$  が実験前のゴム厚  $t$  の20%になったときに切断開始点に達している。

**5. 動的切断実験結果および考察** 図5に臨界切断落下高さ  $h_c$  と刃先角  $\theta$  の関係を示す。臨界切断落下高さ  $h_c$  とはゴム供試体が過不足なくちょうど切断される高さをいう。図より、どのゴム厚でも刃先角75°から90°にかけて、臨界切断落下高さ  $h_c$  が急激に増加する。また、刃先角90°ではゴム厚15mm、それ以外の刃先角ではゴム厚30mmにおいて、  $h_c$  が急増し切断されにくくなる。

図6に衝撃力  $F_d$  と静的切断時の最大荷重  $F_c$  との関係を示す。  
 $F_d$  (kgf/cm) は、別途実験して求めた次式に  $h=h_c$  (cm) を代入して算定した。この実験では、ゴム供試体(厚さ20mm)の上にロードセル(20tf用)を設置し、最高150cmから重錐を落下させて衝撃力をサンプリング間隔1msで測定した。

$$F_d = 22.7 \cdot h^{0.488} \quad (r=0.996, n=21) \quad (2)$$

質点に働く力が非常に大きく作用する時間  $T$  は微小である場合、運動量の原理(力積の法則)より  $F_d$  は  $h$  の0.5乗に比例する。この実験では、  $h=143$  cmで  $T=14$  msと微小であったが、ゴムが変形し衝撃を吸収したため、  $h$  の指数がやや小さくなったと考えられる。  
 $F_d$  (kgf/cm) と  $F_c$  (kgf/cm) の間には、次式の比例関係が成立する。

$$F_d = 1.05 \cdot F_c \quad (r=0.786, n=23) \quad (3)$$

比例係数がほぼ1となるので、  $F_d$  は  $F_c$  とほぼ一致する。

**6. まとめ** 静的切断において、刃先の貫入量がゴム厚の約20%になったときに切断が開始される。衝撃力は、静的切断時の最大荷重とほぼ一致することが判明した。

**参考文献** 1) 畠昭治郎著：建設機械学，鹿島出版会，pp.102～150, 1987.

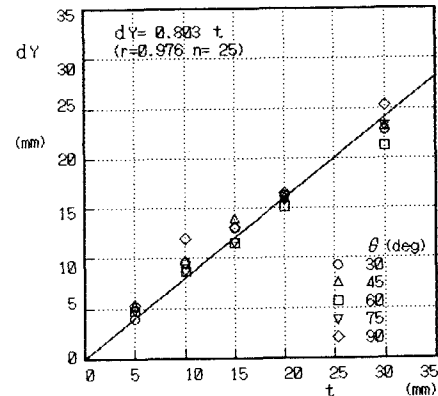


図4 切断開始時貫入量  $d_y$  と  
ゴム厚  $t$  の関係

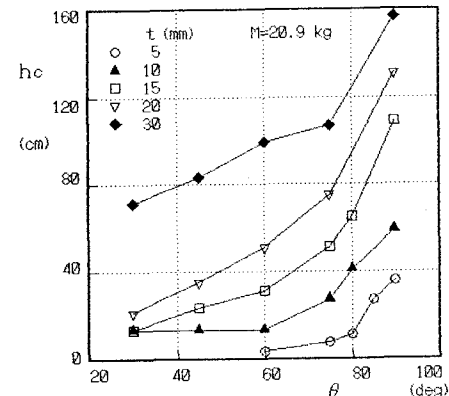


図5 臨界切断落下高さ  $h_c$  と  
刃先角  $\theta$  の関係

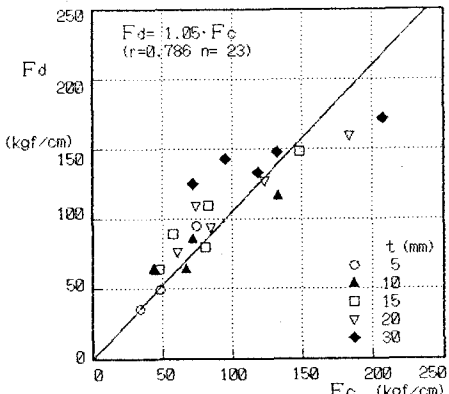


図6 衝撃力  $F_d$  と最大荷重  $F_c$  の関係